

В противоположность рис. 3в гистограммы мощности $1/f$ шума на рис. 3а, 3б заметно отличаются от χ^2 -распределения. Они существенно асимметричны, шире соответствующих χ^2 -распределений (в 3 раза на рис. 3а и в 6 раз на рис. 3б), обладают характерными длинными хвостами, подобно гистограммам, полученным ранее в [1-3], и явно указывают на негауссову природу $1/f$ шума исследовавшихся в работе образцов.

Гистограмма текущей мощности $1/f$ шума большеобъемного резистора типа BC-2W имеет значительно менее выраженный хвост и отличается по ширине от χ^2 -распределения лишь в два раза*. Отсюда можно сделать вывод, что с увеличением объема образца уменьшается степень негауссности его $1/f$ шума. Таким образом, негауссовые свойства $1/f$ шума значительно легче обнаружить, проводя измерения с образцами возможно меньшего объема.

Типичные (усредненные по 20 гистограммам) параметры распределения мощности $1/f$ шума: для гистограммы на рис. 3а — отношение среднего значения к наиболее вероятному $\eta \approx 1,5$; отношение стандарта флуктуаций к среднему значению $\sigma/\langle x \rangle \approx 0,44$; коэффициент асимметрии $\gamma_3 \approx 1,84$; коэффициент эксцесса $\gamma_4 \approx 4,89$; для гистограммы на рис. 3б — $\eta \approx 1,1$; $\sigma/\langle x \rangle \approx 0,08$; $\gamma_3 \approx 1,7$; $\gamma_4 \approx 2,8$. Характерные особенности гистограмм рис. 3а, 3б сохранялись при уменьшении тока через образец вплоть до значений, при которых $1/f$ шум образца «исчезал» в белошумовом фоне (в анализируемом диапазоне частот).

4. Заключение. В работе измерены вероятностные характеристики электрического $1/f$ шума в тонкой графитовой пленке. Проанализированы полученные гистограммы мощности токового $1/f$ шума в определенной полосе частот. Существенная асимметрия гистограмм (отношение среднего значения к наиболее вероятному $\sim 1,5$) свидетельствует о сильной негауссости исследуемого $1/f$ шума. Инвариантность специфической формы распределения при варьировании величины тока (в диапазоне 5—70 мА) указывает на относительно малый вклад в $1/f$ шум процессов локальной деградации материала под действием этих токов.

ЛИТЕРАТУРА

1. Воргруп J. J. — Phys. Rev., 1986, 166, № 3, p. 827; — J. Appl. Phys., 1969, 40, № 9, p. 3551; 1970, 41, № 7, p. 2913.
2. Greenstein L. J., Воргруп J. J. — J. Appl. Phys., 1969, 40, № 2, p. 682.
3. Purcell W. E. — J. Appl. Phys., 1972, 43, № 6, p. 2890.
4. Stoisiak M., Wolf D. — J. Appl. Phys., 1976, 47, p. 362.
5. Voss R. F. — Phys. Rev. Lett., 1978, 40, p. 913.
6. Restle P. J., Weissman M. B., Black R. D. — J. Appl. Phys., 1983, 54, № 10, p. 5844.
7. Strasilla U. J., Strutt M. J. O. — J. Appl. Phys., 1974, 45, № 3, p. 1423.
8. Moore W. J. — J. Appl. Phys., 1974, 45, № 4, p. 1896.

Горьковский государственный
университет

Поступила в редакцию
10 января 1985 г.,
после переработки
25 июля 1985 г.

Примечание при корректуре. В последнее время авторами проведены измерения вероятностного распределения мощности токового $1/f$ шума тонкопленочных хромовых микрорезисторов (с размерами $0,002 \text{ мкм} \times 70 \text{ мкм} \times 860 \text{ мкм}$, сопротивлением $\langle R \rangle \approx 77,6 \text{ кОм}$) в полосе частот $1 \div 10 \text{ кГц}$ (пропускаемый ток $11,5 \text{ мА}$). Полученные гистограммы подобны рис. 3б, обладают существенной асимметрией и имеют протяженный «хвост», они примерно в 30 раз шире вероятностного распределения, соответствующего гауссовой модели $1/f$ шума. Как и в настоящей работе, показано, что с увеличением объема микрорезистора (при сохранении $\langle R \rangle$) степень наблюдаемой негауссости $1/f$ шума уменьшается.

УДК 621.382.2

ИССЛЕДОВАНИЯ ШУМОВ В ПРИБОРАХ ИЗ КРЕМНИЯ, КОМПЕНСИРОВАННОГО СЕРОЙ

B. M. Арутюнян, З. О. Мхитарян, Р. С. Барсегян

Как известно, сера в кремнии в зависимости от технологических режимов легирования легко создает ассоциаты и комплексы, о чем свидетельствует большой

* Подобные гистограммы и наблюдались ранее Брофи [1, 2].

разброс значений уровней и их параметров [1–5]. Поэтому необходимы поиск оптимальных технологических режимов и надежная идентификация электронной структуры центров. Одним из эффективных методов определения параметров глубоких центров является шумовая спектроскопия [6–8]. В настоящей работе продемонстрирована возможность определения параметров центров, создаваемых серой в кремни, из анализа электрических и шумовых характеристик в зависимости от температуры для образцов с омическими контактами и $p^+ - n - n^+$ диодных структур из кремния, компенсированного серой.

Технология изготовления и методика измерений. Сера вводилась методом диффузии в кварцевых ампулах смкостью $\sim 20 \text{ см}^3$, предварительно обезжиренных и прокаленных вакууме $\sim 10^{-5} \text{ мм рт. ст.}$ В качестве исходного материала были использованы кремниевые шайбы марки КДБ с проводимостью p -типа, удельным сопротивлением $\rho \sim 40 - 50 \text{ Ом} \cdot \text{см} (N_A \sim 3 \cdot 10^{14} \text{ см}^{-3})$ и толщиной 0,7–0,9 мм, нарезанные по плоскости $\langle 111 \rangle$. После механической и химической обработки пластины вместе с навеской из чистой серы были запаены в ампулы с последующей откачкой последних до $10^{-5} \text{ мм рт. ст.}$ Диффузия проводилась при температуре $1100 - 1200^\circ\text{C}$ в течение 8–12 часов, охлаждение образцов до комнатной температуры проводилось в масле. Омические контакты наносились двумя способами: электрохимическим никелированием с последующим вжиганием в вакууме в течение 1 мин при температуре 600°C или осаждением в вакууме сплава $\text{Au} + 1\% \text{ Sb}$ в течение 5 мин при температуре 500°C . Размеры исследуемых образцов $2,5 \times 1 \times 0,8 \text{ мм}$. Существенных отличий в характеристиках образцов с контактами, нанесенными различными способами, не наблюдалось. $p^+ - n$ -переход создавался напылением слоя алюминия толщиной 3–4 мкм с последующим вплавлением в вакууме $\sim 10^{-5} \text{ мм рт. ст.}$ Площадь $p^+ - n$ -перехода $\sim 10^{-4} \text{ см}^2$, толщина n -базы $\sim 0,3 \text{ мм}$. Для измерения температурной зависимости коэффициента Холла изготавливались образцы с конфигурацией контактов Ван-дер-Пау.

Температурные зависимости спектральной плотности шумов измерялись в частотном диапазоне 20 Гц–20 кГц в интервале температур 77–300 К. Для измерения электрических и шумовых характеристик в указанном температурном интервале был сконструирован и изготовлен специальный металлический криостат цилиндрического типа с двумя экранирующими слоями, конструкция которого позволяет задавать начальную температуру образца от 77 до 300 К. Температурный режим отогрева или охлаждения образца регулировался либо изменением подачи жидкого азота, либо включением электрического нагревателя. Такая система обеспечивала поддержание температуры с точностью до $\pm 0,2^\circ\text{C}$. Измерение температуры в криостате осуществлялось с помощью термопары медь–константан, калиброванной платиновой термопарой. Схема криостата приведена на рис. 1, электрическая схема и методика измерений приведены в работе [9].

Результаты измерений и обсуждение. Для каждой температуры перед шумовыми измерениями снимались вольт-амперные характеристики (ВАХ), имеющие для исследуемых образцов в используемом диапазоне напряжений и температур линейный характер. На рис. 2а приведена температурная зависимость равновесной концентрации свободных носителей n_0 для образцов с омическими контактами. Как видно из графика, в интервале температур $5 \cdot 10^{-3} < 1/T < 1,1 \cdot 10^{-2} \text{ K}^{-1}$ зависимость концентрации свободных носителей от температуры описывается прямой, имеющей наклон,

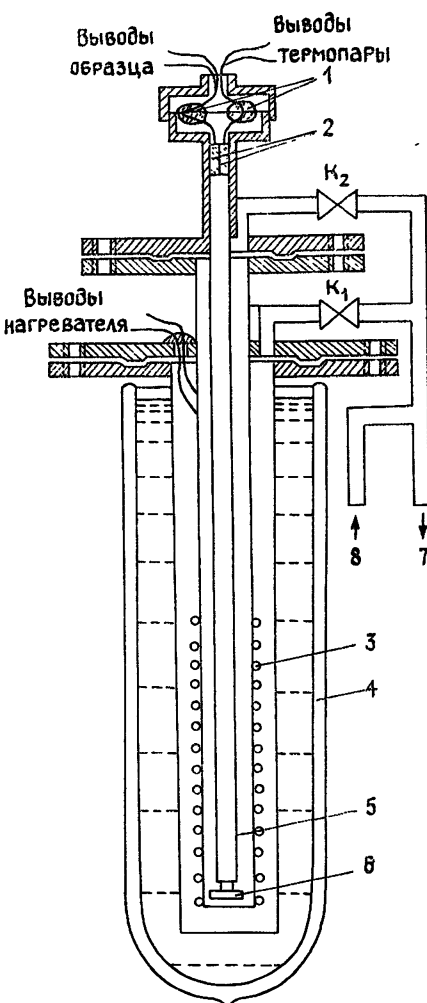


Рис. 1. Схема криостата:
1 — слезки, 2 — изоляторы, 3 — печь нагрева, 4 — дверь с жидким азотом, 5 — держатель образца, 6 — фторопластовая подложка с образцом и термопарой, 7 — насос, 8 — газообразный гелий, K_1 и K_2 — краны.

соответствующий энергии ионизации ($E_c = 0,19$ эВ). При более низких ($n_0 < 10^{12}$ см $^{-3}$) и более высоких температурах ($n_0 \gg 3 \cdot 10^{14}$ см $^{-3}$) график отклоняется от прямой. Температурная зависимость холловской подвижности μ_H (рис. 2б) описывается уравнением

$$\mu_H = BT^{-3/2}, \quad (1)$$

где $B \approx 4 \cdot 10^6$ — некоторая постоянная. Вид температурной зависимости указывает на доминирующий механизм рассеяния на акустических фононах [10]. В исследованном диапазоне температур μ_H изменяется от $8 \cdot 10^2$ см $^2 \cdot B^{-1} \cdot c^{-1}$ ($T=300$ К) до значений порядка 10^4 см $^2 \cdot B^{-1} \cdot c^{-1}$ ($T=80$ К).

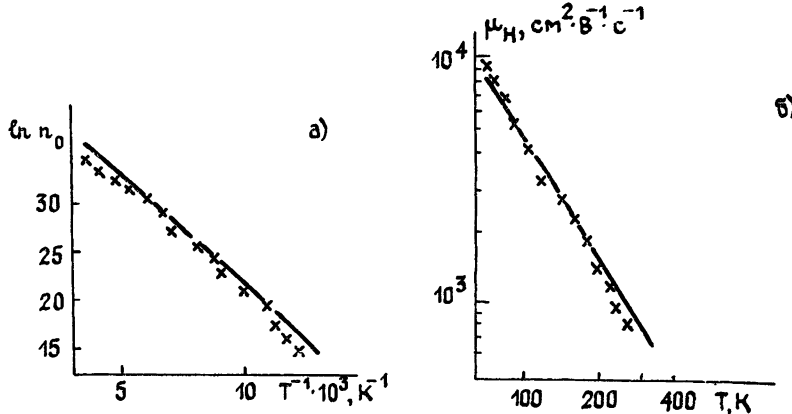


Рис. 2.

Шумовой спектр для образцов из кремния с примесью серы показан на рис. 3а. Измерялась спектральная плотность токовых шумов S_i в зависимости от частоты f и температуры. Как видно из рис. 3а, в спектре различимы ступеньки, спадающие с ростом частоты приблизительно пропорционально f^{-2} . С целью выяснения, какой уровень обуславливает появление соответствующей ступеньки в спектре, были проведены численные оценки шума по формулам (3), (4), (9), приведенным в работе [8]. Для каждой ступеньки определялись высота плато $A = S_i V / J^2$ и точка перегиба спектра, что позволяло оценивать время жизни τ ; здесь V — объем прибора, J — постоянный ток через диод. Как показано в [8], при наличии компенсации и таких низких температурах, что $n_0(T) \ll N_A \ll N_D - N_A$ (что имеет место в нашем случае при $T < 180$ К),

$$\tau = (rN_A)^{-1}; \quad (2a)$$

$$A = 4 \exp \frac{(E_c - E_x)}{kT} (g_x(N_D - N_A)N_c r)^{-1}, \quad (2b)$$

где N_A — концентрация мелких акцепторов, N_D — концентрация доноров, E_x — энергетическое положение примеси, ответственной за шум, k — постоянная Больцмана, N_c — эффективная плотность состояний в зоне проводимости, g_x — фактор вырождения уровня, r — коэффициент рекомбинации. При численных оценках полагаем, что $g_x = 1$. При высоких температурах, таких, что $n_0(T) \sim N_D - N_A$ (что имеет место при $T > 180$ К),

$$\tau = \exp \left(\frac{(E_c - E_x)}{kT} \right) (rg_x N_c)^{-1}; \quad (3a)$$

$$A = 4N_D \exp \left(2 \frac{(E_c - E_x)}{kT} \right) (r(N_D - N_A)g_x^2 N_c^2)^{-1}. \quad (3b)$$

Используя приближенные выражения (2а), (2б) и (3а), (3б), определим энергетическое положение уровня, ответственного за генерационно-рекомбинационный (Г-Р) шум (при каждой температуре) и коэффициент рекомбинации. Значения для A и τ брались из приведенных шумовых спектров. Соответствующие расчетные кривые показаны на рис. 3а штриховыми линиями.

Численные оценки показали, что при $T < 180$ К Г-Р шумовые «ступеньки» обусловлены уровнем ($E_c = 0,19$ эВ) с коэффициентом рекомбинации $r \sim 10^{-11}$ см $^3 \cdot s^{-1}$. При $T > 200$ К, согласно численным оценкам, Г-Р шум обусловлен уровнем ($E_c = 0,38$ эВ) с $r \sim 10^{-7}$ см $^3 \cdot s^{-1}$. Как видно из выражений (3а), (3б), с повышением температуры величина шумового плато A и время жизни τ уменьшаются, т. е. точка перегиба спектра смещается в область более высоких частот. Действительно, в шумовых спектрах образцов, снятых для температур $T > 200$ К, не обнаружены плато, соответствующие уровню ($E_c = 0,19$ эВ), что является следствием полной ио-

низации уровня ($E_c - 0,19$ эВ). На рис. 3б показана определенная из шумового спектра зависимость времен жизни, связанных с однократно (τ_1) и двукратно (τ_2) положительно заряженными уровнями серы. Как видно из рисунка, при низких температурах в спектре шума проявляется τ_1 , имеющее слабую температурную зависимость, а при высоких — τ_2 , уменьшающееся с ростом температуры.

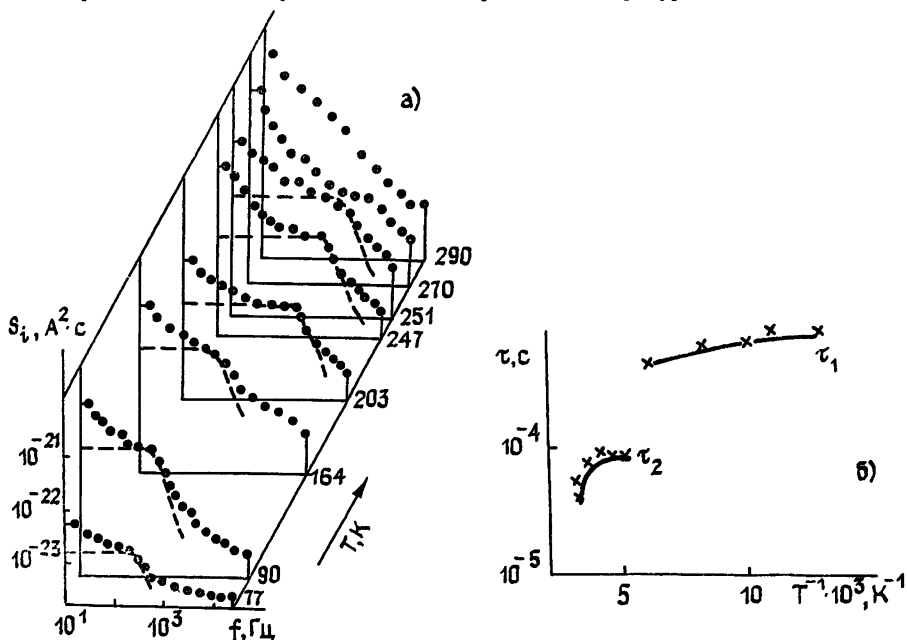


Рис. 3. Температурные зависимости для образцов с омическими контактами:
а) шумового спектра $J(77\text{K})=0,1 \text{ мкА}; J(90\text{K})=1 \text{ мкА}; J(164\text{K})=2 \text{ мкА}; J(203\text{K})=5 \text{ мкА}; J(247\text{K})=4 \text{ мкА}; J(251\text{K})=4,7 \text{ мкА}; J(270\text{K})=8 \text{ мкА}; J(290\text{K})=10 \text{ мкА}$;
б) времени жизни τ_1 (низкие температуры) и τ_2 (высокие температуры).

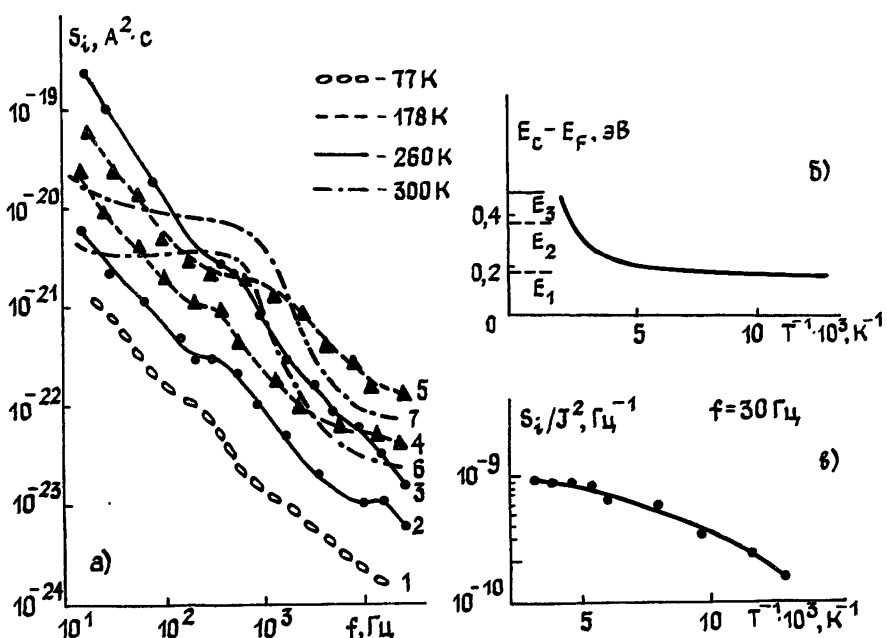


Рис. 4. а) Шумовой спектр для $p^+ - n - n^+$ диодов при разных температурах (1— $J=2 \text{ мкА}, U=40 \text{ В}; 2—J=2,7 \text{ мкА}, U=8 \text{ В}; 3—J=6 \text{ мкА}, U=14 \text{ В}; 4—J=2,1 \text{ мкА}, U=19 \text{ В}; 5—J=3,7 \text{ мкА}, U=29 \text{ В}; 6—J=2 \text{ мкА}, U=0,6 \text{ В}; 7—J=8 \text{ мкА}, U=1 \text{ В});
б) температурная зависимость положения уровня Ферми; в) температурная зависимость фликкер-шумов.$

Шумовые спектры для приборов из кремния с примесью серы приведены на рис. 4а (спектры сняты на омическом и начальном квадратичном участках ВАХ). Сделана попытка объяснить шумовой спектр $p^+ - n - n^+$ диодов из кремния, компенсированного серой, при температуре, равной 300 К [9], с помощью модели, предложенной в [8]. Для оценок были использованы выражения (3а), (3б). Определено, что верхнее шумовое плато обусловлено уровнем ($E_c - 0,5$ эВ) с коэффициентом рекомбинации $r \sim 2,5 \cdot 10^{-8}$ см³·с⁻¹. Нижнее плато определяет уровень ($E_c - 0,38$ эВ), так как высота нижнего плато в шумовом спектре $A_{\text{эксп}}$ равна $(2 \cdot 10^{-23} \cdot 10^{-6} \times 4 \cdot 10^{-12})$ см³/Гц = $5 \cdot 10^{-18}$ см³/Гц, а из (3б) для уровня ($E_c - 0,38$ эВ) находим, что $A_{\text{расч.}} = 2 \cdot 10^{-18}$ см³/Гц. Сравнение $A_{\text{расч.}}$ с $A_{\text{эксп}}$ дает хорошее согласие между экспериментом и расчетом. Численные оценки показали, что для уровня ($E_c - 0,38$) время жизни $\tau = 1,4 \cdot 10^{-6}$ с, т. е. спектр должен спадать при $f = 120$ кГц, что находится за пределами используемого частотного диапазона. Отметим, что в шумовых спектрах образцов с омическими контактами уровень ($E_c - 0,5$ эВ) обнаружен не был.

На рис. 4б показана зависимость положения уровня Ферми от температуры. Оценки проводились согласно [11]. При этом в области низких температур $E_1 = E_c - 0,19$ эВ, $E_2 = E_c - 0,38$ эВ; в области высоких температур $E_1 = E_c - 0,38$ эВ, $E_2 = E_c - 0,5$ эВ; $N_A = 3 \cdot 10^{14}$ см⁻³, $N_D = 5 \cdot 10^{14}$ см⁻³. На частотах ниже 100 Гц у исследуемых структур наблюдается фликер-шум. На рис. 4в приведена температурная зависимость отношения спектральной плотности токовых шумов к квадрату величины тока, протекающего через диод. Как видно из рисунка, с возрастанием температуры фликер-шумрастет.

Таким образом, измерениями шумов выявлено три уровня серы: $E_1 = E_c - 0,19$ эВ, $E_2 = E_c - 0,38$ эВ, $E_3 = E_c - 0,5$ эВ. Полученные результаты находятся в удовлетворительном согласии с результатами измерений, проведенных другими методами [4, 5, 12].

Авторы признательны А. А. Арцируни, К. Р. Мовсесяну и З. Б. Шакаряну за помощь при изготовлении криостата.

ЛИТЕРАТУРА

- Carlson R. O., Hall R. N., Pell E. M. — J. Phys. Chem. Sol., 1959, 8, p. 81.
- Krag W. E., Kleiner W. H., Zeiger H. J., Fischer F. — J. Phys. Soc. Japan (Suppl.), 1966, 21, p. 230.
- Camphausen D. L., Sladek R. J. — Bull. Am. Phys. Soc., 1968, 13, p. 406.
- Ludwig G. W. — Phys. Rev., 1965, 137A, p. 1520.
- Rosier L. L., Sah C. T. — J. Appl. Phys., 1971, 42, № 10, p. 4000.
- Hoffman H. J., Sohn W. — Phys. Stat. Sol. (a), 1977, 44, p. 237.
- Bosman G., Zulstra R. J. J. — Solid-State Electr., 1982, 25, № 4, p. 273.
- Hoffman H. J., Huber E. — Physica, 1981, 111B, p. 249.
- Мхитарян З. О., Барсегян Р. С., Арутюнян В. М. — Изв. вузов — Радиофизика, 1984, 27, № 9, с 1218.
- Зи С. М. Физика полупроводниковых приборов. — М.: Энергия, 1973.
- Жданович Н. С., Козлов Ю. И. — ФТП, 1976, 10, № 10, с. 1846.
- Урунбаев Б. М. Диссертация, Ташкент, 1983.

Ереванский государственный
университет

Поступила в редакцию
1 апреля 1985 г.